

ИЗМЕРЕНИЯ ИОНИЗИРУЮЩИХ ИЗЛУЧЕНИЙ

623.4:629.78

ЭКСПЕРИМЕНТАЛЬНОЕ ОПРЕДЕЛЕНИЕ ГРАНИЦ И УСЛОВИЙ ПРИМЕНИМОСТИ МЕТОДА ПОПАРНОГО КОМПЛЕКСИРОВАНИЯ РАДИОМЕТРИЧЕСКИХ СРЕДСТВ ОБНАРУЖЕНИЯ ИСТОЧНИКОВ ИОНИЗИРУЮЩИХ ИЗЛУЧЕНИЙ

В. Т. МИНЛИГАРЕЕВ, А. В. ЯШИН, Д. П. БАЧУРИН

32 Государственный научно-исследовательский испытательный институт
МО РФ, Москва, Россия, e-mail: 32gnii@mail.ru

Исследован метод попарного комплексирования радиометрических средств обнаружения радиоактивных веществ. Определены границы применимости метода для гамма-нейтронных полей.

Ключевые слова: ионизирующие излучения, обнаружение источников, попарное комплексирование, границы метода.

The method of pairwise aggregation of radiometric detection means of radioactive substances is studied. The applicability limits of this method for the gamma-neutron fields are determined.

Key words: ionizing radiation, detection of sources, pairwise aggregation, boundaries of method.

В настоящее время актуальными являются измерительные задачи по обнаружению, локализации и идентификации искусственных источников ионизирующих излучений (ИИИ). Как показывает практика, наиболее распространены гамма-нейтронные источники искусственного происхождения. Данные виды ИИИ характеризуются смешанным, в том числе и гамма-нейтронным излучением. Поля таких источников наиболее информативны по сравнению с альфа- и бета-источниками, так как позволяют обнаруживать их на расстоянии единиц и десятков метров даже в случае применения маскирующих мероприятий.

При обнаружении источников, содержащих в себе компоненты нескольких видов излучений (в данном случае нейтронное и сопутствую-

щее гамма-излучение), возникает необходимость измерять параметры полей разной физической природы [1, 2]. Один из распространенных методов измерений полей ИИИ для многих поисковых ситуаций – радиометрический. В его основе лежит интегральный счет импульсов нейтронов N_x или гамма-квантов N_y за фиксированное время наблюдения [3, 4]. Однако данный метод позволяет одновременно выявлять параметры источников только по одному виду излучения – гамма или нейтронному. Совместная обработка результатов измерений данных видов измерений в гамма-нейтронных радиометрах не предусмотрена. Для повышения надежности и достоверности обнаружения комбинированных ИИИ целесообразно проводить обнаружение по нескольким идентифицирующим признакам. Совместная обработка двух классифицирующих признаков, характеризующих потоки гамма-квантов и нейтронов, дает возможность значительно повысить достоверность измерений.

Теоретическое обоснование данной идеи рассмотрено в [1]. Для повышения достоверности обнаружения гамма-нейтронных источников предложено измерять число импульсов по двум каналам, обладающим разными спектральными диапазонами, с последующей совместной обработкой информации. При этом делается ряд допущений, важных для практического применения. Однако вопросы проверки справедливости сделанных допущений в [1] не рассматривались. С целью решения указанной задачи методом, описанным в [5], были экспериментально определены границы и условия применимости метода попарного комплексирования радиометрических средств обнаружения ИИИ. При этом последовательно решались задачи:

определения возможности применения модели нормального закона распределения функции плотности вероятности системы двух случайных величин – количества импульсов нейтронного и гамма-каналов (N_x, N_y) – для аппроксимации распределения Пуассона нормальным законом распределения;

исследования сигналов класса «фон» на предмет благоприятности и стабильности для достижения требуемой точности и достоверности измерений при выполнении задачи обнаружения ИИИ.

Измерения значений характеристик гамма-нейтронных полей классов «фон» и «сигнал» проводили на вторичном эталоне плотности потока нейтронов на расстояниях 1,5 – 5 м и в помещениях, где располагался эталон, на расстояниях 10 – 13 м до ИИИ. Естественный

гамма-нейтронный фон измеряли в помещениях и на открытом пространстве. Объектом обнаружения служил ИИИ ^{252}Cf типа ИНК-4, средством измерений – гамма-нейтронный радиометр СРПС22 (его метрологические характеристики приведены в табл. 1). Условия эксперимента обеспечивали независимость результатов наблюдений.

Таблица 1

Метрологические характеристики гамма-нейтронного радиометра СРПС22

Характеристика	Значение
Диапазон измерений гамма-излучения	10 кэВ – 1,3 МэВ
Диапазон измерений нейтронного излучения	0,025 эВ – 14 МэВ
Чувствительность к нейtronам изотопа ^{252}Cf	10^{-3} имп·м ² /нейтр.
Чувствительность к гамма-квантам изотопа ^{137}Cs	10^3 имп·с на 1 мкЗв/ч

В большинстве практических важных случаев приемлемой моделью для описания случайного числа появления нейтронов и гамма-квантов в фиксированном промежутке времени считают распределение Пуассона [1, 3]:

$$P(x = b) = \lambda^b e^{-\lambda} / b!, \quad (1)$$

где $\lambda > 0$ – параметр распределения Пуассона; $b = 0, 1, 2 \dots$

При больших λ имеет место приближение, например, для x [3]:

$$P(x \leq b) = \Phi\left(\frac{b+0,5-\lambda}{\sqrt{\lambda}}\right), \quad (2)$$

где $\Phi(x)$ – нормальная (0, 1) функция распределения.

Именно на допущении (2) основан метод попарного комплексирования для обнаружения ИИИ, изложенный в [1]. В этом случае предполагают, что функция плотности вероятности системы двух случайных величин нейтронов x и гамма-квантов y описывается двухмерным нормальным законом распределения при определении значений характеристик типа:

«сигнал»

$$Z(x_i, y_i) = \frac{1}{2\pi\sigma_{x_i}\sigma_{y_i}\sqrt{1-r_{11}^2}} \left\{ \frac{-1}{2\sqrt{1-r_{11}^2}} \left[\frac{(x_i - m_{x_i})^2}{\sigma_{x_i}^2} - \frac{2r_{11}(x_i - m_{x_i})(y_i - m_{y_i})}{\sigma_{x_i}\sigma_{y_i}} + \frac{(y_i - m_{y_i})^2}{\sigma_{y_i}^2} \right] \right\}, \quad (3)$$

«фон»

$$Z(x_2, y_2) = \frac{1}{2\pi\sigma_{x_2}\sigma_{y_2}\sqrt{1-r_{22}^2}} \left\{ \frac{-1}{2\sqrt{1-r_{22}^2}} \left[\frac{(x-m_{x_2})^2}{\sigma_{x_1}^2} - \frac{2r_{22}(x-m_{x_2})(y-m_{y_2})}{\sigma_{x_2}\sigma_{y_2}} + \frac{(y-m_{y_2})^2}{\sigma_{y_2}^2} \right] \right\}, \quad (4)$$

где m_{x_1} , m_{x_2} , m_{y_1} , m_{y_2} – математические ожидания; σ_{x_1} , σ_{x_2} , σ_{y_1} , σ_{y_2} – средние квадратические отклонения; r_{11} , r_{22} – коэффициенты корреляции указанных систем случайных величин «сигнала» и «фона», соответственно.

При условии независимости результатов наблюдений выражения (3), (4) приобретают вид

$$Z(x_1, y_1) = \frac{1}{\sigma_{x_1}\sqrt{2\pi}} \exp\left(-\frac{1}{2}\left(\frac{x-m_{x_1}}{\sigma_{x_1}}\right)^2\right) \frac{1}{\sigma_{y_1}\sqrt{2\pi}} \exp\left(-\frac{1}{2}\left(\frac{y-m_{y_1}}{\sigma_{y_1}}\right)^2\right) = f_1(x_1)f_2(y_1); \quad (5)$$

$$Z(x_2, y_2) = \frac{1}{\sigma_{x_2}\sqrt{2\pi}} \exp\left(-\frac{1}{2}\left(\frac{x-m_{x_2}}{\sigma_{x_2}}\right)^2\right) \frac{1}{\sigma_{y_2}\sqrt{2\pi}} \exp\left(-\frac{1}{2}\left(\frac{y-m_{y_2}}{\sigma_{y_2}}\right)^2\right) = f_3(x_2)f_4(y_2), \quad (6)$$

где $f_1(x_1), f_2(y_1), f_3(x_2), f_4(y_2)$ – функции плотностей вероятностей (ФПВ) значений интегрального счета импульсов нейтронов и гамма-квантов «сигнала» и «фона», соответственно.

С целью проверки одного из необходимых условий применимости метода попарного комплексирования для обнаружения ИИИ – возможности использования (2) при аппроксимации распределения (1) – был поставлен эксперимент по определению значений характеристик гамма-нейтронных полей классов «фон» и «сигнал» для последующей проверки принадлежности функций $f_1(x_1), f_2(y_1), f_3(x_2), f_4(y_2)$ нормальному семейству распределений.

Были получены выборки результатов измерений параметров естественного фона нейтронного и гамма-излучений (N_{x_2}, N_{y_2}) и сигнала (N_{x_1}, N_{y_1}). Далее проверяли гипотезу о возможности использования моделей (5), (6), что, в конечном итоге, означало проверку принадлежности выборок $N_{x_1}, N_{y_1}, N_{x_2}, N_{y_2}$ циальному семейству распределений.

Для решения поставленной задачи определяли эмпирические модели законов распределения полученных выборок (рис. 1) в виде ФПВ, которым далее ставили в соответствие теоретические модели с помощью

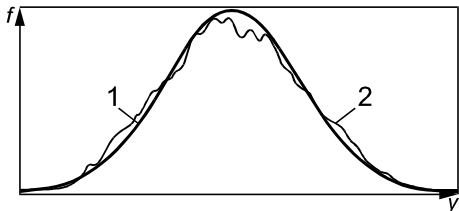


Рис. 1. Теоретическая (1) нормально распределенная и эмпирическая (2) функции плотностей вероятностей регистрации импульсов фонового гаммаизлучения

циента) для произвольной доверительной вероятности на основе битструп-метода.

Полагали, что выборка принадлежит нормальному семейству распределений с доверительной вероятностью 0,98 в случае выполнения системы неравенств, задающих область неопределенности идентифицирующих параметров:

$$\left. \begin{array}{l} k_{\text{н}} \leq 2,066 \leq k_{\text{в}}; \\ \alpha_{\text{н}} \leq 0,577 \leq \alpha_{\text{в}}, \end{array} \right\} \quad (7)$$

где $k_{\text{н}}$, $k_{\text{в}}$, $\alpha_{\text{н}}$, $\alpha_{\text{в}}$ – рассчитываемые соответственно нижние и верхние оценки энтропийного коэффициента и контрэксцесса для доверительной вероятности 0,99; 2,066 и 0,577 – значения энтропийного коэффициента и контрэксцесса для нормального семейства распределений [6].

Оценки областей неопределенности идентифицирующих параметров при доверительной вероятности 0,98 для естественного фона и сигнала приведены в табл. 2. Расчеты проводили с помощью программного комплекса оценки статистических характеристик, разработанного в среде Borland C++ 6.6 Builder, размерность выборки составляла 200.

Из экспериментальных результатов следует, что корректное использование метода попарного комплексирования для обнаружения источников нейтронного и сопутствующего гамма-излучений в каждом конкретном случае требует обязательной проверки выполнимости допущения об аппроксимации закона Пуассона нормальным законом распределения [5]. Дальнейшие исследования показали, что данная аппроксимация возможна при соблюдении следующих параметров:

модифицированного метода топографической идентификации. В отличие от изложенного в [6] здесь используется метод построения эмпирической ФПВ на основе ядерных функций [7] для повышения точности оценки энтропийного коэффициента и возможности построения области неопределенности идентифицирующих модель распределения координат (контрэксцесса и энтропийного коэффициента) для произвольной доверительной вероятности на основе битструп-метода.

Таблица 2

**Оценки областей неопределенности идентифицирующих параметров
для гамма-нейтронных полей классов «фон» и «сигнал»**

Время экспозиции, с	Классы сигналов гамма-нейтронных полей	Нижняя и верхняя границы		Принадлежностьциальному закону распределения
		контрэксесса	энтропийного коэффициента	
50	Нейтронный фон	0,641 – 0,671	1,912 – 1,989	–
100	Нейтронный фон	0,576 – 0,629	1,907 – 2,099	+
50	Гамма-фон	0,521 – 0,676	1,990 – 2,068	+
100	Гамма-фон	0,562 – 0,595	1,981 – 2,071	+
50	Нейтронный сигнал	0,582 – 0,624	1,991 – 2,065	–
100	Нейтронный сигнал	0,551 – 0,604	2,015 – 2,099	+
50	Гамма-сигнал	0,502 – 0,646	1,881 – 2,068	+
100	Гамма-сигнал	0,571 – 0,612	2,018 – 2,100	+

времени экспозиции при измерениях нейтронного потока $T_s \geq 100$ с, гамма-потока $T_s \geq 10$ с;

чувствительности радиометра по нейтронному каналу $\eta \geq 10^{-3}$ имп·м²/нейтр.

Для установления границ применимости метода попарного комплексирования была проведена экспериментальная проверка гипотезы о фоновой составляющей как о благоприятной и стабильной (среднее общее значение фона вне зон естественных радиационных аномалий может составлять до 0,25 мкЗв/ч). По естественному фону плотности потока нейтронов Φ_x и гамма-квантов Φ_y считается, что их средние значения $\bar{\Phi}_x = 5 \cdot 10^{-3}$ имп·с⁻¹·см⁻²; $\bar{\Phi}_y = 10$ имп·с⁻¹·см⁻². Однако для различных географических территорий Российской Федерации общий фон колеблется от 0,01 до 0,5 мкЗв/ч [3, 4].

Примеры результатов исследований радиационного фона представлены на рис. 2. Радиометрические измерения выполнялись в лабораторных условиях, а также на открытом пространстве при времени экспозиции $T_s = 200$ с. Выборка состоит из 500 измерений, что составляет более 27 ч непрерывных наблюдений по каждому каналу в помещении и на открытом пространстве. Из рис. 2 следует, что гамма-фон в помещении выше и стабильнее, чем на открытом пространстве. Это обусловлено наличием природных радионуклидов ^{40}K , ^{87}Rb , ^{232}Th в строительных материалах, а также скоплением в подвальных помещениях и на первых

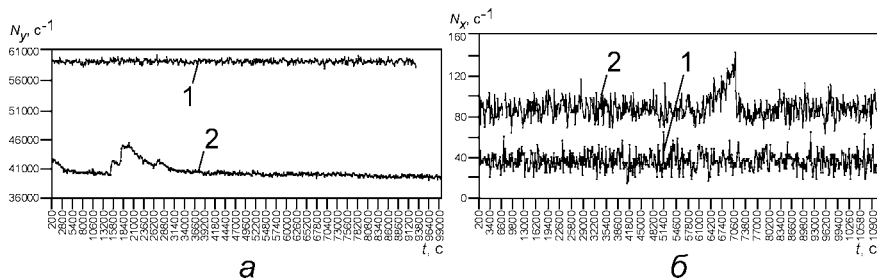


Рис. 2. Совмещенные гамма-фон (*а*) и нейтронный фон (*б*), измеренные на открытом пространстве и в помещении, соответственно кривые 1, 2

этажах радиоактивных газов, выделяющихся из почвы, таких как радон ^{222}Rn и торон ^{220}Tn , что делает фон в помещении выше. Нейтронный фон, напротив, ниже в помещении, но стабильнее, чем на открытом пространстве, вследствие того, что поток нейронов атмосферы не способен проникать в полном объеме через многоэтажные здания. Выбросы на рис. 2 при измерениях внешнего гамма-нейтронного фона можно объяснить нестабильным характером космического излучения, образующего вторичные гамма-кванты и нейтроны при взаимодействии с молекулами атмосферы.

Такие соотношения фоновых составляющих являются характерными для большинства случаев радиационного контроля, когда внешний естественный фон не превышает среднего значения 0,25 мкЗв/ч [3]. Представительная статистика фоновых измерений, а также максимально возможное время $T_{\text{э},\text{max}}$ являются обязательными и важнейшими составляющими процесса обнаружения ИИИ как необходимое условие для обеспечения высокой точности и достоверности обнаружения.

Выводы. В результате проведенных экспериментов показана возможность аппроксимации закона Пуассона нормальным законом распределения интегрального счета импульсов для нейтронных сигналов при времени экспозиции $T_{\text{э}} \geq 100$ с и для измерения гамма-сигналов при $T_{\text{э}} \geq 10$ с применительно к ИИИ ^{252}Cf типа ИНК-4. Это обеспечивается благодаря корректному использованию метода попарного комплексирования радиометрических средств для обнаружения комбинированных гамма-нейтронных источников.

В большинстве практических случаев естественный гамма-фон в помещении может быть выше и стабильнее, чем на открытом прост-

ранстве, а нейтронный фон ниже в помещении, но стабильнее, чем на открытом пространстве. К благоприятным условиям измерений с применением метода попарного комплексирования относится значение гамма-составляющей фона не более 0,25 мкЗв/ч, т. е. в отдельных случаях фоновая составляющая может быть нестабильной и неблагоприятной и в значительной степени искажать результаты обнаружения ИИИ.

Л И Т Е Р А Т У Р А

1. **Кириллов В. М.** Попарное комплексирование методов обнаружения источников излучений // Измерительная техника. 2008. № 8. С. 68 – 72; **Kirillov V. M.** Pairwise combination of methods of detecting radiation sources //Measurement Techniques. 2008. V. 51. N 8. P. 913 – 917.
2. **Онищенко А. М.** Алгоритмы работы приборов контроля качества продукции //Измерительная техника. 1992. № 11. С. 19 – 22; **Onishchenko A. M.** Algorithms for the operation of product quality control instruments //Measurement Techniques. 1992. V. 35. N 11. P. 1266 – 1269.
3. **Кириллов В. М.** Физические основы радиационной и ядерной безопасности /Учеб. пособие. М.: ВА им. Ф. Э. Дзержинского, 1993.
4. **Иванов В. И.** Курс дозиметрии /Учеб. пособие для вузов. М.: Энерготомиздат, 1988.
5. **Бачурин Д. П., Минлигареев В. Т., Яшин А. В.** Экспериментальная проверка необходимого условия применимости метода попарного комплексирования для определения параметров источников ионизирующих излучений //Метрология. 2009. № 7. С. 38 – 44.
6. **Новицкий П. В., Зограф И. А.** Оценка погрешностей средств измерений. Л.: Энергоатомиздат, 1985.
7. **Лазарев В. М., Яшин А. В.** Практическая реализация метода весовых функций для построения оценок функции плотности распределения. //Измерительная техника. 2008. № 9. С. 39 – 41; **Lazarev V. M., Yashin A. V.** Practical implementation of the method of weight functions for the construction of estimators of the distribution density function //Measurement Techniques. 2008. V. 51. N 9. P. 976 – 979.

Дата принятия 25.08.2010 г.